



## سنجش از دور و سامانه اطلاعات جغرافیایی در منابع طبیعی (سال هفتم / شماره چهارم) زمستان ۱۳۹۵

نمایه شده در سایت: پایگاه استنادی علوم جهان اسلام، جهاد دانشگاهی، مگ ایران، نور مگز

آدرس وب سایت: <http://girs.iaubushehr.ac.ir>



# تعیین سطح زیر کشت گیاه زعفران با استفاده از تصاویر لندست (مطالعه موردی: شهرستان تربت حیدریه)

مجید رحیمزادگان<sup>۱\*</sup>، مصطفی پور غلام<sup>۲</sup>

۱. استادیار دانشکده مهندسی عمران، دانشگاه صنعتی خواجه نصیرالدین طوسی  
۲. دانشجوی کارشناسی ارشد سنجش از دور و سیستم اطلاعات جغرافیایی، واحد لارستان، دانشگاه آزاد اسلامی، لارستان، ایران

### مشخصات مقاله

### چکیده

هدف این تحقیق، شناسایی سطح زیر کشت محصول زعفران در شهرستان تربت حیدریه با استفاده از تصاویر ماهواره‌ای Landsat-۸ با استفاده از روش‌های طبقه‌بندی شبکه عصبی مصنوعی، ماشین‌های بردار پشتیبان، فاصله ماهالانویس، حداقل فاصله، حداقل احتمال، متوازی السطوح برای تهیه نقشه پوشش و استفاده از شاخص‌های گیاهی نرم‌الملأ شده تفاضل پوشش گیاهی (NDVI) و شاخص پوشش گیاهی با انعکاس خاک (SAVI) در دوره اوچ سبزینگی زعفران با بررسی تقویم زراعی آن است. برای تهیه داده‌های میدانی، مختصات و کلاس پوششی ۲۵۸۷ نقطه (۱۴۶۳ نمونه آموزشی و بقیه آزمایشی)، از مناطق با شعاع حداقل ۳۰ متر پوشش یکسان، در تاریخ‌های ۵ بهمن ماه ۱۳۹۳ و ۱۹ اردیبهشت ماه ۱۳۹۴ توسط GPS ثبت گردید. همچنین، آمارهای وزارت جهاد کشاورزی در سال زراعی ۹۲-۹۳ جهت ارزیابی نتایج استفاده شد. دو معیار ضریب کاپا و صحت کلی، برای ارزیابی نتایج استفاده گردید. سطح زیر کشت زعفران در طبقه‌بندی ماشین‌های بردار پشتیبان با صحت کلی ۹۵٪ و ضریب کاپای ۹۰٪ به عنوان بهترین روش رویکرد اول، در مقایسه با آمارهای جهاد کشاورزی خطابی حدود ۱۸٪ داشت. اما استفاده از NDVI به عنوان بهترین روش برآورد سطح زیر کشت زعفران در رویکرد دوم، نشان‌دهنده سطح ۷۱۱۸ هکتار بود که در مقایسه با آمار جهاد کشاورزی (۷۵۵۰ هکتار)، خطای ۵/۷ درصدی را نشان می‌داد. بنابراین نتایج این تحقیق نشان‌دهنده کارایی مناسب شاخص‌های گیاهی زمانمند در برآورد سطح زیر کشت زعفران با توجه به فنولوژی آن بود.

\* پست الکترونیکی مسئول مکاتبات: [rahimzadegan@kntu.ac.ir](mailto:rahimzadegan@kntu.ac.ir)

## مقدمه

بعضی از محصولات باهم و یا باکلاس خاک را زیاد می‌کند (۵). همچنین استفاده از تصاویر چند زمانه در طول دوره رشد محصولات کشاورزی، امکان استفاده از منحنی طیفی زمانی (که با تقویم زراعی هر محصول ارتباط دارد)، را می‌دهد. این منحنی طیفی برای هر محصول تقریباً مجزا بوده و قابلیت تمایز بین محصولات مختلف را بالا می‌برد (۲۳).

زعفران بانام عمومی زعفران (Saffron) و نام علمی *Crocus sativus* گران بهترین گیاه زراعی موجود در روی کره زمین است و تنها گیاهی است که واحد خرید و فروش آن بهجای تن و کیلوگرم، مثقال و گرم می‌باشد (۸). زعفران از خانواده زنبق بوده و در منطقه آب و هوایی مدیترانه و غرب آسیا و در مناطق بسیار کم باران ایران گسترش دارد. این گیاه قرمز شرقی دارای گل‌های زیبای بنفسرنگ و کلاله‌هایی به رنگ قرمز و قیفی شکل است. کلاله سه‌شانه رنگین، دارای رایحه‌ای دل‌انگیز بوده و مصارف خوراکی، دارویی و رنگی داشته و همان چیزی است که به نام زعفران در دسترس عموم قرار داشته و معروف است. زعفران گیاهی چندساله است که از طریق پیاز از دیاد حاصل می‌نماید (۶).

زعفران گیاهی است که دوره محصول دهی و رشد فعل آن در پاییز و زمستان بوده و تشکیل گل و عملکرد اقتصادی آن وابسته به ذخیره مواد فتوستتزری در بنه زعفران در فصل زراعی گذشته است. برگ‌های این گیاه در طی ماه‌های آبان تا اردیبهشت سال بعد مواد فتوستتزری مازاد خود را به اندام‌های زیرزمینی فرستاده تا صرف تشکیل بنه‌های جدید و هم‌چنین تکامل گل شود. به عبارت بهتر برگ گیاه زعفران از اواخر آبان (بعد از گلدهی) تا اردیبهشت روی زمین می‌باشد (۲). از جمله مطالعات انجام شده بر روی این گیاه سرکارگر اردکانی و نوابی از تصاویر ماهواره‌ای برای طبقه‌بندی و برآورد آمار و اطلاعات گیاه زعفران، با دقت مناسب استفاده نمودند. بدین منظور و برای کشف محل کاشت گیاه زعفران در منطقه مطالعاتی اطراف شهرستان کاشمر، از تصاویر سنجنده ETM<sup>+</sup> ماهواره لندست بهره گرفتند در تحقیق مذکور علاوه بر طیف‌سنجدی این گیاه، با انجام طبقه‌بندی نظارت شده، این محصول را از

کشاورزی یکی از منابع کلیدی در تأمین نیاز غذایی برای مردم هر کشور بوده که در این راستا از اهمیت ویژه‌ای برخوردار است (۳۰). بنابراین به منظور تصمیم‌گیری، مدیریت منابع و برنامه‌ریزی در سطح کلان می‌بایست به اطلاعات مربوط به کشاورزی از قبیل سطح زیر کشت، میزان محصول، آفت‌های کشاورزی و غیره دسترسی داشت. همچنین پایش سلامت گیاه، شناسایی استرس‌ها، تعیین ظرفیت فتوستت و میزان محصولات منطقه، در راستای کشاورزی پایدار امری اجتناب ناپذیر است (۱۲ و ۱۳)، یکی از روش‌های مناسب، کم‌هزینه و سریع در تأمین این اطلاعات، استفاده از اندازه‌گیری های ثبت‌شده توسط تصاویر ماهواره‌ای می‌باشد. از آنجایی که محصولات کشاورزی در محدوده طول‌موجی مرئی و مادون‌قرمز طیف الکترومغناطیس بیشترین تمایز را نسبت به سایر پوشش‌های سطحی نشان می‌دهند، هرچه تعداد باندهای طیفی یک سنجنده در این محدوده‌ها افزایش یابد، منحنی‌های طیفی محصولات با دقت بیشتری ترسیم شده و در نتیجه تمایز بین محصولات مختلف کشاورزی بر اساس این منحنی بالاتر می‌رود (۳۲). این موضوع در مورد تصاویر ابر طیفی صدق می‌کند، ولی در مورد تصاویر چند طیفی به دلیل تعداد باندهای محدود و با پهنای زیاد در دامنه طیفی امواج مرئی و مادون‌قرمز، منحنی طیفی محصولات مختلف کشاورزی به خطوط شکسته نزدیک شده و شباهت بین آن‌ها را افزایش می‌دهد و در نتیجه تمایز بین آن‌ها را بشدت کاهش می‌دهد (۲۸، ۳۹ و ۴۰). به همین دلیل برای تفکیک بین محصولات کشاورزی مختلف با استفاده از تصاویر چند طیفی، اغلب از تصاویر چندزمانه استفاده می‌شود (۲۳). از طرفی با توجه به اینکه رفتار طیفی محصولات کشاورزی مختلف در طول دوره رشد (تقویم زراعی) متفاوت است، در یک‌زمان خاص نمی‌توان تمامی محصولات را در وضعیت یکسان از دوره رشد، در تصویر مشاهده نمود. ممکن است بعضی از محصولات در دوره رویش اولیه و برخی دیگر در دوره بلوغ و مابقی در زمان پیری خود باشند، که این مورد امکان ادغام

که نشان دهنده افزایش قابل توجهی در سطح زیر کشت از ۳۲۵/۴۱ هکتار به ۴۸۴/۶۲ هکتار یا حدود ۲۸ درصد از مساحت کل روستا افزایش داشته است. تحلیل مکانی اراضی در سال‌های ۱۹۹۰ و ۲۰۱۰ نشان داد، در سال ۱۹۹۰ کشت زعفران تنها ۷۷٪ درصد از سطح زیر کشت بوده و در سال ۲۰۱۰ درصد این کشت ۳۲٪ افزایش یافته است. سطح زیر کشت زعفران در سال ۱۹۹۰ برابر ۵/۲ هکتار و در سال ۲۰۱۰، ۱۸۷/۵ هکتار بوده است. لی و همکاران (۲۹) روش‌های نظارت نشده و سیزده مورد از روش‌های نظارت شده را برای طبقه‌بندی کاربری اراضی شهر گوانگزو چین با استفاده از داده‌های TM لندست مقایسه کردند. نتایج این تحقیق نشان داد زمانی که نمونه آموزشی به تعداد مناسب انتخاب می‌شود، بیشتر الگوریتم‌ها طبقه‌بندی مناسبی می‌دهند. اما زمانی که تعداد نمونه‌های آموزشی کاهش می‌یابد، اختلاف دقت بین الگوریتم‌ها افزایش می‌یابد. دورو و همکاران (۱۹) روش‌های حداقل احتمال و شیء‌گرا را با استفاده از تصاویر TM برای منطقه آمازون بزرگ مقایسه و نتیجه گرفتند که استفاده از روش شیء‌گرا باعث بهبود سه درصدی صحت طبقه‌بندی در مقایسه با الگوریتم حداقل احتمال شده است.

جمع‌بندی سوابق تحقیق نشان می‌دهد که علی‌رغم اینکه مطالعات زیادی درزمینه سطح زیر کشت در مناطق مختلف جهان صورت گرفته است ولی اکثر این تحقیقات مربوط به یونجه، ذرت، سویا و گندم می‌باشد. با توجه به اینکه گیاه زعفران از لحاظ ارزش مالی و همچنین تغذیه‌ای در مناطق شمال شرقی ایران، اهمیت ویژه‌ای برای کشور دارد. لذا تحقیق حاضر در نظر دارد با تمرکز بر روی مناطق شمال شرق کشور در میان الگوریتم‌های مختلف طبقه‌بندی تصاویر ماهواره‌ای و همچنین روش‌های جایگزین، بهترین روش را جهت تهیه سطح زیر کشت گیاه زعفران در این مناطق معرفی کند. هدف این مقاله استفاده از تصاویر ماهواره‌ای چندطیفی در طول دوره رشد برای تشخیص و شناسایی گیاه زعفران از روی تصاویر ماهواره‌ای Landsat-۸ می‌باشد.

عارض هم جوار آن تفکیک و دقت کل طبقه‌بندی و ضریب کاپا را محاسبه نمودند که هر دو پارامتر نشان دهنده کیفیت بالای طبقه‌بندی انجام شده بود. در انتها با توجه به طبقه‌بندی گیاه زعفران، سطح زیر کشت آن را برآورد نمودند (۴).

رمضان‌خانی و مختارزاده (۳) دو دسته از رایج‌ترین روش‌های طبقه‌بندی تصاویر، شامل روش‌های آماری و روش شبکه‌های عصبی مصنوعی را بر روی داده‌های ماهواره‌ای تک زمانه و چندزمانه پیاده‌سازی نموده و نتایج حاصل را ارزیابی کردند. بر اساس نتایج حاصل شده می‌توان گفت که روش‌های آماری با ورودی‌های چند زمانه نسبت به ورودی‌های تک زمانه دارای دقت مناسب‌تری بوده ولیکن با کاهش عملکرد مناسب الگوریتم‌های طبقه‌بندی مواجه می‌شوند. در مقابل شبکه‌های عصبی با ورودی‌های چند زمانه با مشکلات روش‌های آماری مواجه نبوده و دارای دقت نسبتاً بهتر (۰/۷۵ کاپا) نسبت به روش‌های آماری چندزمانه (۰/۷۲ کاپا) می‌باشند.

سونمز و ساری (۲۵) با استفاده از روش شیء‌گرا و ماشین بردار پشتیبان نقشه کاربری اراضی را تهیه کردند. نتایج نشان داد که هر دو روش برای تهیه نقشه کاربری اراضی مناسب خواهد بود ولی روش شیء‌گرا به نسبت روش ماشین بردار پشتیبان، صحت کلی و ضریب کاپا بالاتری دارد. هاسیان و همکاران (۲۱) روش‌های آماری پیکسل پایه سنتی ماهواره‌ای و روش‌های شیء‌گرا را برای طبقه‌بندی تصاویر موربررسی قراردادند. نتایج تحقیقات آن‌ها نشان داد که با توجه به افزایش روزافزون حجم تصاویر ماهواره‌ای و کاربرد تصاویر باقدرت تفکیک مکانی بسیار بالا، روش‌های پیکسل پایه و داده‌کاوی برای بررسی روند تغییرات کاربری اراضی زمین‌های شمیم احمد شاه (۱۰) تغییر کاربری اراضی زمین‌های کشاورزی را در سطح خرد در دره کشمیر در هندوستان (که یکی از مناطق کشت زعفران است)، با استفاده از تجزیه و تحلیل‌های مکانی در محیط سیستم اطلاعات مکانی را بررسی نمود. بدین منظور نقشه‌های پایه موجود از منطقه موردنظر در سال‌های ۱۹۹۰ و ۲۰۱۰ مورد بررسی قرار گرفت

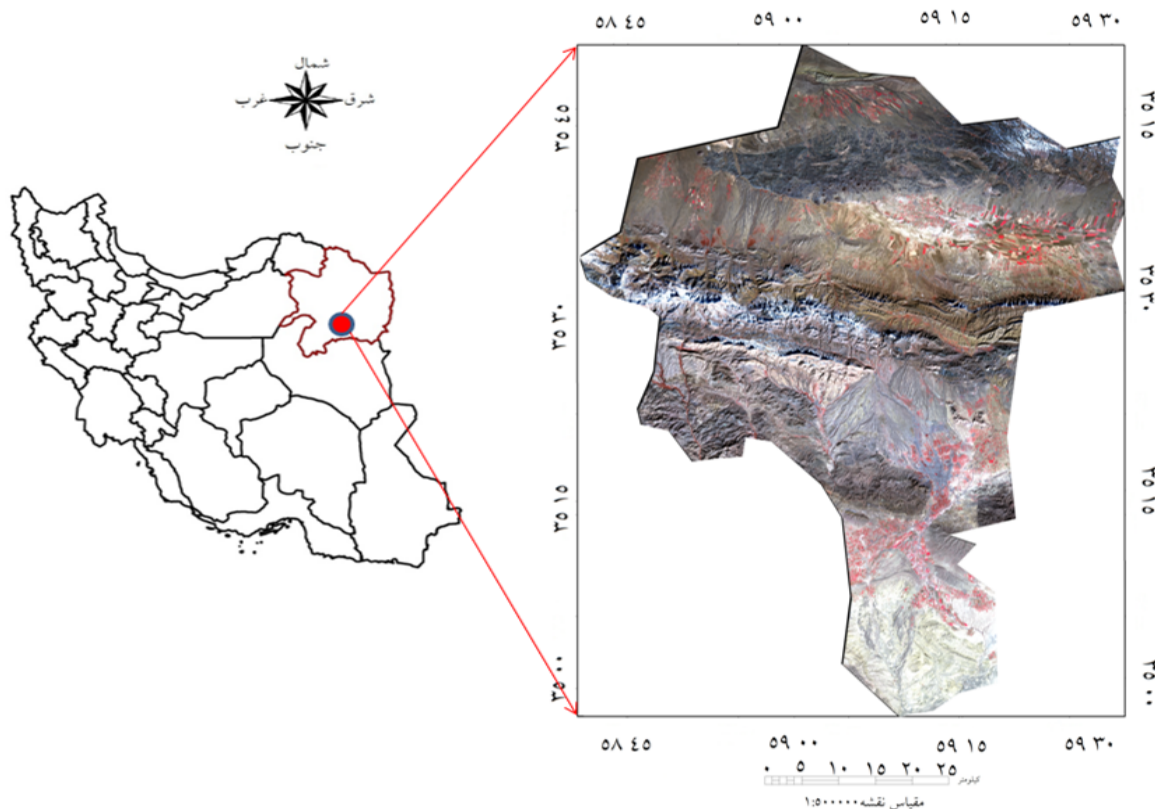
### داده‌های مورد استفاده

در این پژوهش پیاده‌سازی‌های موردنظر بر روی تصاویر سنجنده OLI مستقر بر ماہواره Landsat-8 مربوط به استان خراسان رضوی و شهرستان تربت حیدریه انجام شد. تعداد ۶۰ تصویر (یک سال کامل) از سایت سازمان زمین‌شناسی آمریکا (USGS) تهیه گردید. که در بررسی‌های انجام شده، تعدادی از تصاویر به دلیل ابری بودن و برخی مشکلات دیگر مورد استفاده قرار نگرفت و درنهایت ۲۱ تصویر مربوط به سال زراعی ۹۴-۹۳ برای پیاده‌سازی انتخاب شد. روند کلی مراحل انجام پژوهش در شکل ۲ ارائه شده است.

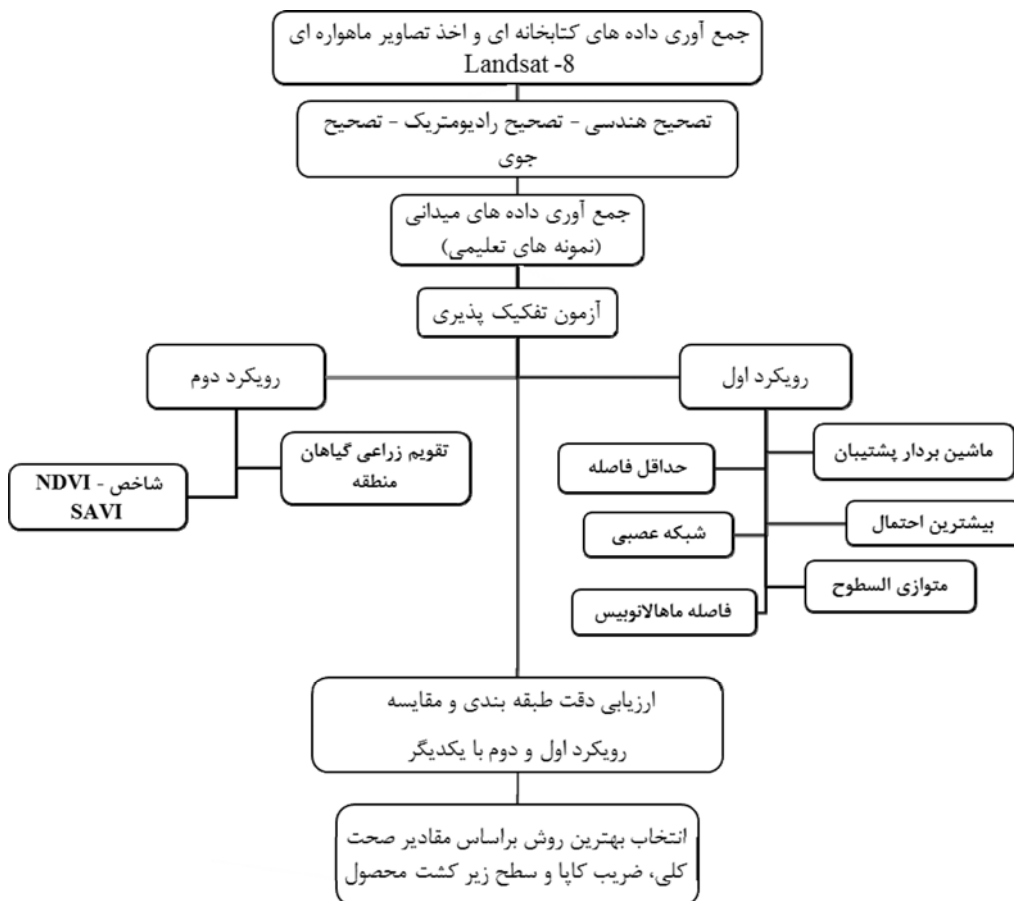
### مواد و روش‌ها

#### محدوده مورد مطالعه

منطقه مطالعه شهرستان تربت حیدریه در استان خراسان رضوی می‌باشد. این شهرستان با وسعت ۳۶۷۱/۸۰ کیلومترمربع در فاصله ۱۴۲ کیلومتری از مرکز استان، به مرکزیت ۵۹/۱۳ درجه طول شرقی و ۳۵/۱۶ درجه عرض شمالی قرار دارد (شکل ۱). شهرستان در ارتفاع ۱۳۳۳ متر از سطح دریاهای آزاد قرارگرفته است. اقلیم منطقه سرد و خشک بوده، متوسط بارندگی سالیانه حدود ۲۰۴/۴ میلی‌متر، متوسط حداقل درجه حرارت ۲۰/۸ و متوسط حداقل درجه حرارت شهرستان ۷/۶ سانتی‌گراد می‌باشد.



شکل ۱. موقعیت منطقه مورد مطالعه



شکل ۲. نمودار روند کلی مراحل انجام پژوهش

$$L_{\lambda} = \left( \frac{LMAX_{\lambda} - LMINT_{\lambda}}{QCALMAX_{\lambda} - QCALMIN_{\lambda}} \right) \times (QCAL_{\lambda} - QCALMIN_{\lambda}) + LMINT_{\lambda} \quad [1]$$

در این رابطه؛  $LMAX_{\lambda}$  حد آستانه بالای بازتابندگی طیفی،  $LMIN_{\lambda}$  حد آستانه پایین بازتابندگی طیفی،  $QCAL_{\lambda}$  مقدار عددی هر پیکسل،  $QCALMAX_{\lambda}$  بزرگترین مقدار ارزش پیکسلها و  $QCALMIN_{\lambda}$  کوچکترین مقدار ارزش پیکسلها است. مقادیر تابندگی به بازتابندگی در بالای جو Reflectance TOA) با استفاده از رابطه ۲ محاسبه گردید.

$$P_{\lambda} = \pi \times L_{\lambda} \times \frac{d^2}{ESUN_{\lambda}} \times \cos \theta_s \quad [2]$$

در این رابطه؛  $P_{\lambda}$  بازتابندگی بالای جو،  $ESUN_{\lambda}$  انرژی

### پیش‌پردازش داده‌ها تصحیح هندسی

به دلیل آنکه تصاویر سنجنده Landsat-8 به صورت زمین مرجع بوده و در مختصات جهانی با دقت مناسب عرضه و منتشر می‌گردند و در این تحقیق هدف ما بررسی تصاویر نسبت به یکدیگر بود از همان اطلاعات زمین مرجع موجود در تصاویر استفاده گردید.

### تصحیح رادیومتریک

برای انجام تصحیح رادیومتریک در مرحله اول با استفاده از رابطه ۱ تبدیل مقدار عددی (Digital Number) به تابندگی (Radiance) انجام شد (۱۵).

نتایج روش‌های طبقه‌بندی است. در این رویکرد داده‌های آموزشی و آزمایشی با استفاده از عملیات میدانی و پیمایش زمینی یا نقشه‌های موجود انتخاب شده و الگوریتم‌ها آموزش داده خواهند شد و درنهایت با استفاده از داده‌های آزمایشی نتایج ارزیابی خواهد گردید. رویکرد دوم بررسی تقویم زراعی محصول زعفران و مقایسه آن با دیگر محصولات کشاورزی موجود در منطقه است. در این رویکرد بازه‌های زمانی با بیشترین سبزینگی مربوط به زعفران با استفاده از اطلاعات زراعی و نیز تصاویر ماهواره‌ای (با بهره‌گیری از داده‌های جمع‌آوری شده در پیمایش میدانی) شناسایی شده و در صورت متفاوت بودن این بازه زمانی بازمان اوج سبزینگی سایر محصولات کشاورزی، شاخص‌های گیاهی روی تصاویر مربوط به بازه زمانی مورد نظر اعمال شده و مناطق با مقدار بالا در این شاخص‌ها شناسایی خواهند شد (شکل ۲).

در این رویکرد ابتدا با بررسی منابع موجود و بازدید میدانی از منطقه مورد مطالعه، در دو مرحله (۱۳۹۳/۱۱/۰۵ - ۱۳۹۴/۰۲/۱۹) موقعیت و کلاس پوششی بخشی از زمین‌های زعفران و سایر پوشش‌های سطحی با استفاده از گیرنده سامانه موقعیت یاب جهانی (GPS) و همچنین اطلاعاتی در رابطه با تقویم زراعی محصولات منطقه ثبت گردید. سپس برای اینکه کار شناسایی هدف آسان‌تر و با اطمینان بیشتری صورت گیرد و نتیجه کار به واقعیت زمینی انطباق بیشتری داشته باشد، با توجه به پوشش‌های موجود در منطقه مورد مطالعه، موقعیت پوشش‌های دیگر از جمله زمین زیر کشت باستان و جو، مناطق شهری و خاک به طور دقیق ثبت گردید. در مرحله بعد موقعیت‌های ثبت شده توسط سامانه موقعیت یاب جهانی به طور دقیق بر روی تصویر Landsat-۸ مشخص گردید (شکل ۳). سپس بر اساس نقاط تعیین شده بر روی تصویر، مناطق شاهد تهیه گردید. مناطق شاهد، مربوط به گیاه زعفران هدف و بقیه غیره‌دف بودند که به تشخیص بهتر گیاه زعفران کمک می‌کنند.

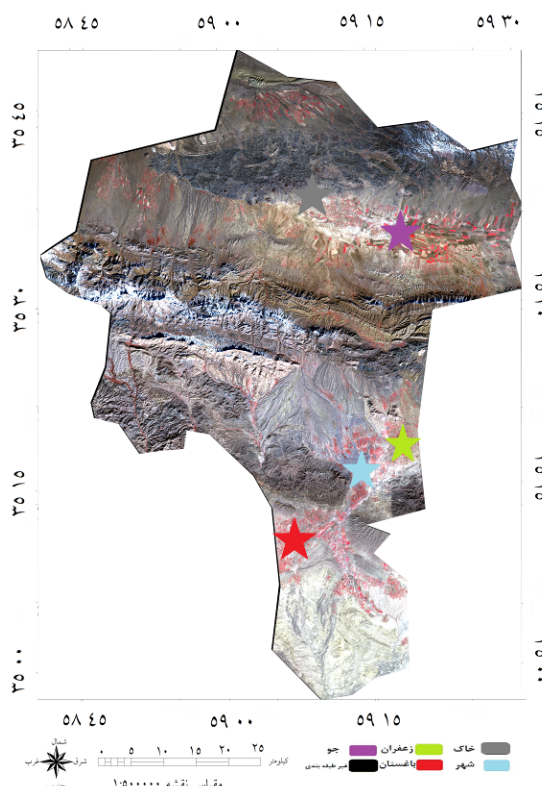
فرویدی خورشید در بالای جو در طول موج معین،  $\theta$  زاویه زنیتی خورشید و  $d^2$  میذور فاصله زمین تا خورشید است. مقادیر  $\lambda_{LMIN}$  و  $\lambda_{LMAX}$  برای باندهای استفاده شده از فایل پشتیبان تصویر (با فرمت MTL) استخراج شد.

### تصحیح جوی

به دلیل اثرات جو بر روی میزان انرژی ثبت شده توسط سنجنده، برای تحلیل داده‌های تصویر باید اثر جو در صورت امکان تعدیل شود. در این تحقیق به دلیل آنکه از روش‌های طبقه‌بندی و همچنین شاخص‌های طیفی استفاده گردید، اثرات جو بر روی نتایج آن‌ها تأثیر قابل توجهی نداشت. بنابراین از روش تصحیح جوی ساده تفریق پیکسل تاریک استفاده شد. تفریق پیکسل تاریک یکی از روش‌های تصحیح رادیومتریک نسبی است که در بسیاری از موارد به کار گرفته می‌شود. در حالت ایده‌آل پدیده‌های تیره دارای تابش صفر در همه طول موج‌ها هستند. در این روش فرض می‌شود که در هر باند از تصویر می‌توان پیکسل‌هایی مانند آب یافت که مقادیر بازتابندگی آن‌ها صفر یا نزدیک به صفر باشد. به این ترتیب اثر پخش جوی به صورت مقدار ثابت به پیکسل‌ها در هر باند اضافه می‌گردد. به همین جهت برای حذف خطای رادیومتریک، بایستی مقدار ثابتی از ارزش پیکسل‌های هر باند کم شود (۱۱).

### روش تحقیق

به طور کلی برای شناسایی زمین‌های مربوط به محصولات کشاورزی و به طور مشخص محصول زعفران رویکردهای متفاوتی را می‌توان در نظر گرفت. با توجه به اینکه در این مطالعه هدف استخراج محصول زعفران از تصاویر ماهواره‌ای Landsat-۸ که تصویری چند زمانه است، می‌باشد، دو رویکرد اول را در این تحقیق در نظر گرفته شد (شکل ۲). رویکرد اول استفاده از روش‌های طبقه‌بندی و استخراج محصول زعفران از



شکل ۳. نمایش نمونه های آموزشی بر روی تصویر رنگی Landsat-8

می شود، که صفر معادل عدم تفکیک پذیری در کلاس ها و ۲ نشان دهنده تفکیک کامل کلاس ها می باشد. برای اجرای طبقه بندی مناسب و با دقت، باید میزان تفکیک پذیری از ۱/۸ بالاتر باشد (۲۲). نتایج برآورده این شاخص نشان دهنده انتخاب مناسب طبقات پوششی می باشد (جدول ۱). اطلاعات تعداد پیکسل های نمونه های آموزشی و آزمایشی در جدول ۲ نمایش داده شده است.

#### طبقه بندی تصاویر

برای انجام پیاده سازی های موردنظر در این رویکرد بر روی تصاویر اخذ شده از سایت سازمان زمین شناسی آمریکا، روش های طبقه بندی با نظارت مرسوم ماشین بردار پشتیبان، فاصله ماهالانوبیس، حداقل احتمال، حداقل فاصله، متوازی السطوح، شبکه عصبی اعمال شد.

#### شاخص واگرایی (Divergence index)

نسبت تفکیک پذیری در این شاخص از ۰ الی ۲ بیان

جدول ۱. نتایج محاسبه شاخص واگرایی برای نمونه های آموزشی اولیه

	کلاس	زعفران	باستان	خاک	شهر	جو
زعفران		۰	۱/۹۵	۱/۹۹	۱/۹۹	۱/۹۹
باستان		۱/۹۵	۰	۱/۹۹	۱/۹۹	۱/۹۹
خاک		۱/۹۹	۱/۹۹	۰	۱/۹۹	۱/۹۹
شهر		۱/۹۹	۱/۹۹	۱/۹۹	۰	۱/۹۹
جو		۱/۹۹	۱/۹۹	۱/۹۹	۱/۹۹	۱/۹۹

جدول ۲. تعداد پیکسل‌های نمونه‌های آموزشی و آزمایشی

کلاس	تعداد پیکسل‌های نمونه‌های آزمایشی	تعداد پیکسل‌های نمونه‌های آموزشی
زعفران	۱۰۴	۱۵۸
جو	۴۰	۱۳۹
باغستان	۳۸۰	۳۵۶
خاک	۴۸۵	۳۵۷
شهر	۱۱۵	۴۵۳

نرخ آموزش بسیار کوچک انتخاب شود، باعث افزایش زمان اجرای شبکه می‌گردد و انتخاب ارزش‌های بسیار بالا موجب ضعیف شدن نتایج می‌شود. بنابراین پیشنهادشده است که نرخ سرعت یادگیری بین  $0.01$  تا  $0.02$  انتخاب شود (۳۸). گشتاور آموزش، منجر به کاهش نوسانات می‌شود، همچنین به فرایند همپوشانی داده‌های آموزشی و آزمایشی سرعت می‌بخشد. در این تحقیق، شبکه‌هایی با مقادیر  $0.05$ ،  $0.06$  و  $0.09$  برای گشتاور مورد آزمون قرار گرفت، مقدار  $0.05$  برای شبکه انتخاب گردید (۱۸). جزئیات پارامترهای مورد استفاده در پیاده‌سازی روش شبکه عصبی در جدول ۳ ارائه شده است.

### طبقه‌بندی شبکه عصبی

در روش شبکه عصبی پرسپترون چندلایه جهت پیاده‌سازی با تعداد ۷ نرون ورودی شامل ۷ باند طیفی در نظر گرفته شد. در مورد تعداد لایه‌های نهفته، سه استین بیان داشته که شبکه‌هایی با یک لایه پنهان برای طبقه‌بندی مناسب‌تر است. تعداد نرون‌های پنهان غالباً با آزمون و خطا تعیین و نرون‌های ورودی مورد آزمایش قرار می‌گیرند، سپس ساختار شبکه با بهترین مورد اجرا واقع می‌شود (۳۴). تعداد نرون‌ها خروجی برابر با تعداد طبقات نقاط آموزشی می‌باشد. یکی از پارامترهای مؤثر بر شبکه عصبی نرخ آموزش می‌باشد. هنگامی که ارزش

جدول ۳. پارامترهای آموزشی بهینه برای شبکه عصبی

ردیف	نام	مقدار
۱	نرخ آموزش	$0.01$
۲	گشتاور آموزش	$0.05$
۳	مقدار خطا (RMSE)	$0.0001$
۴	تعداد لایه پنهان	۱
۵	تعداد تکرار آموزش	۱۰۰۰

پشتیبان چهار نوع کرنل (Kernel)، به نام‌های خطی (Linear)، (Radial basic function)، (Polynomial)، شعاعی (Sigmoid) و پیچشی (Sigmoid) قابل تعریف است (۱۶). انتخاب کرنل مهم‌ترین مسئله در اجرا و عملکرد طبقه‌بندی کرنل‌های ماشین بردار پشتیبان می‌باشد. کرنل‌های متداول شامل پیچشی و شعاعی می‌باشند. در این تحقیق، کرنل شعاعی با توجه به استفاده وسیع در طبقه‌بندی اراضی و مطالعه تغییر کاربری اراضی با داده‌های ماهواره‌ای مختلف و همچنین عملکرد بهتر

### طبقه‌بندی ماشین بردار پشتیبان

ماشین بردار پشتیبان یک روش طبقه‌بندی باینری است که با تعیین یک ابر صفحه تفکیک‌کننده بهینه در فضای ویژگی داده‌های آموزشی، کلاس‌های مختلف را با حداقل جدایی بین آنها، تفکیک می‌نماید. ابر صفحه‌ای که حداقل حاشیه را بین دو کلاس فراهم می‌نماید، ابر صفحه بهینه و داده‌های نزدیک‌تر به ابر صفحه، بردارهای پشتیبان (Support Vector) نامیده می‌شوند (۲۵). در بخش طبقه‌بندی مربوط به ماشین بردار

سپس بر اساس اطلاعات جمع آوری شده و مشخص شدن زمان کاشت، اوج سبزینگی، برداشت و شخم محصولات مختلف، این اطلاعات در پایگاه داده ذخیره گردید. تجزیه و تحلیل های لازم برای تعیین زمان تصاویر بر اساس محصولات عمده منطقه مورد مطالعه، که شامل جو، زعفران و باگستان (عمدتاً از نوع پسته) بودند، انجام گرفت. همچنین با توجه به اینکه محصولات کشاورزی مختلف دارای تقویم زراعی متفاوتی بوده، مقادیر NDVI و شاخص گیاهی تعدیل شده نسبت به اثر خاک (SAVI) در طول یک سال بر روی تصاویر مورد بررسی قرار گرفت و زمان اوج سبزینگی گیاه زعفران با توجه به نمونه های آموزشی به دست آمد.

### شاخص های گیاهی

شاخص های گیاهی از پر کاربرد ترین نمونه های محاسبات باندی می باشند که به منظور محاسبه درصد پوشش گیاهی، بررسی انواع پوشش گیاهی، وضعیت سبزینگی یک منطقه طی دوره های مختلف و کاربردهایی از این نوع بکار می روند. (۲۰). شاخص گیاهی تفاضلی نرم ال شده (NDVI) از معروف ترین، ساده ترین و کاربردی ترین شاخص های گیاهی شناخته شده تاکنون می باشد که برای اولین بار توسط Rouse در ۱۹۷۳ ارائه گردید (۹). محاسبه این شاخص براین اساس استوار است که گیاهان سالم در محدوده مرئی طیف الکترو مغناطیس دارای بازتابندگی کم هستند که این مورد به دلیل جذب توسط کلروفیل و دیگر رنگدانه های موجود در گیاه می باشد. همچنین در محدوده مادون قرمز نزدیک (NIR) به دلیل ساختار سلولی برگ دارای بازتابندگی بالا می باشند (۱). این شاخص از رابطه ۳ محاسبه گردید.

$$NDVI = \frac{NIR - RED}{NIR + RED} \quad [۳]$$

در این رابطه، NIR و RED به ترتیب بازتابندگی طیفی اندازه گیری شده در بخش مادون قرمز نزدیک و قرمز طیف الکترو مغناطیس می باشد. مقادیر نرم ال در این شاخص دارای

نسبت به کرنل های دیگر مورد استفاده قرار گرفت (۲۶، ۲۷ و ۳۳). علاوه بر این، کرنل شعاعی فقط به یک پارامتر از پیش تعریف شده نیاز دارد، که در پیاده سازی، آن را در مقایسه با کرنل های دیگر کاراتر می سازد (۱۹).

### ارزیابی دقت روش های طبقه بندی

در این مقاله برای ارزیابی دقت روش های طبقه بندی از دو پارامتر دقت کلی (Overall Accuracy) و ضریب کاپا (Kappa Coefficient) استفاده شده است. دقت کلی یکی از ساده ترین پارامتر های دقت است که نیاز به عملیات پیچیده ای برای محاسبه نداشته و برآورده کلی از دقت طبقه بندی یا به اصطلاح دقیق تر، میانگینی از دقت طبقه بندی است. یکی دیگر از پارامتر های دقت که از ماتریس خطای (Confusion matrix) استخراج می شود ضریب کاپا است که دقت طبقه بندی را نسبت به یک طبقه بندی کاملاً تصادفی محاسبه می کند (۳۱). ضریب کاپا این مزیت را نسبت به دقت کلی دارد که از مقادیر حاشیه ای ماتریس خطای نیز برای محاسبه دقت استفاده می کند. تک پارامتر هایی نظری دقت کلی و ضریب کاپا تنها با کل طبقه بندی سروکار دارند و اطلاعاتی در مورد تک تک کلاس ها نمی دهند. عموماً دقت کلی یک برآورد خوش بینانه بوده و همیشه دقت را بالاتر از مقدار واقعی محاسبه می کند. برای برآورد دقت هر کلاس به صورت مجزا، از پارامتر های دیگری نظیر دقت کاربر (User Accuracy) و دقت تولید کننده (Producers Accuracy) استفاده می کنند. دقت کاربر و دقت تولید کننده دو پارامتری هستند که به منظور ارزیابی دقت طبقه بندی برای کلاس های مختلف به صورت مجزا تعریف می گردند و هر دو آنها با استفاده از ماتریس خطای محاسبه می شوند.

برای استفاده از سری زمانی تصاویر ماهواره ای و تعیین دامنه زمانی مناسب به منظور استفاده از تصاویر، ابتدا با مراجعه به مراجع موجود (کتب و سایتها) و نیز مراجعه به منطقه و با کمک کشاورزان و مالکان اراضی به جمع آوری اطلاعات مربوط به تقویم زراعی محصولات مختلف منطقه اقدام شد.

شناسایی مناطق زیر کشت این محصول نمود. با توجه به اینکه در این تحقیق بررسی بر روی تصاویر کل بازه زمانی تقویم زراعی موردنظر بود، در این رویکرد یکی از پرکاربردترین شاخص‌های گیاهی یعنی شاخص‌های NDVI روی تمام تصاویر پردازش شده پیاده‌سازی گردید.

### نتایج

بیشینه دقت و کمترین خطای در تمام الگوریتم‌های رویکرد اول، مربوط به طبقه‌بندی ماشین بردار پشتیبان است. موضوع تصویر حاصل از اعمال الگوریتم‌ها در شکل ۴ نمایش داده شده است. با توجه به اینکه طبقه‌بندی در ماه بهمن صورت گرفته و در این ماه، شهرستان تربت حیدریه در مناطق کوهستانی پوشیده از برف است، به همین دلیل قسمت‌های شمالی و همچنین غربی منطقه در بعضی از طبقه‌بندی‌ها با کلاس شهر تداخل ایجاد نمودند. همچنین نتایج عددی پیاده‌سازی روش‌های منتخب بر روی تصویر ماه بهمن، در جدول ۵ در مقایسه با داده‌های آزمایشی نمایش داده شده است. همان‌طور که در این جدول نشان داده شده است، روش‌های شبکه عصبی، ماشین بردار پشتیبان و حداقل احتمال به ترتیب دارای بیشترین دقت از نظر صحت کلی و ضریب کاپا و روش‌های فاصله ماهالانوبیس و حداقل فاصله دارای کمترین دقت می‌باشند. از طرف دیگر، در جدول ۶ مساحت سطح زیر کشت گیاه زعفران به دست آمده از طبقه‌بندی کننده‌های مختلف در مقایسه با آمار ارائه شده توسط وزارت جهاد کشاورزی که ۷۵۰ هکتار می‌باشد، مشاهده می‌شود. برای انتخاب بهترین طبقه‌بندی کننده، جدول‌های ۴ و ۵ به‌طور همزمان در نظر گرفته شدند. روش ماشین بردار پشتیبان هم از نظر ضریب کاپا و دقت کلی و هم از نظر سطح زیر کشت گیاه زعفران دارای بالاترین دقت نسبت به سایر طبقه‌بندی کننده‌ها است، به عنوان روش طبقه‌بندی منتخب در نظر گرفته شد.

قدرت مطلقی مساوی و یا کمتر از یک [۱ و ۲] است. بر اساس تحقیقات انجام شده مقدار کلی این شاخص برای پوشش گیاهی تنک در محدوده (۰/۰۵ تا ۰/۰۲)، پوشش گیاهی معمولی و نیمه متراکم (۰/۰۲ تا ۰/۰۶)، پوشش گیاهی بسیار متراکم و غنی (۰/۰۸ تا ۰/۰۱)، آب، برف و بخش دارای مقادیر منفی، خاک دارای مقادیر (۰/۰۵ تا ۰/۰۱) و مقادیر این شاخص در منطقه پوشیده از ابر تقریباً برابر با صفر است (۲۴).

در شاخص SAVI سعی شده است تا اثر پس‌زمینه‌های خاکی در مناطق گیاهی به حداقل برسد. این شاخص از رابطه ۴ محاسبه گردید.

$$SAVI = \frac{(NIR - RED)(1+L)}{NIR + RED + L} \quad [4]$$

در این رابطه؛ مقدار L برای حذف اثر پس‌زمینه خاک بوده که برای مناطق با پوشش گیاهی بسیار متراکم و غنی برابر صفر، برای مناطق گیاهی بسیار تنک و دارای پوشش گیاهی پراکنده برابر یک و معمولاً در مناطق با پوشش گیاهی متوسط و نرمال برابر نیم در نظر گرفته می‌شود (۷).

### مقادیر شاخص NDVI مربوط به زعفران در دوره رشد

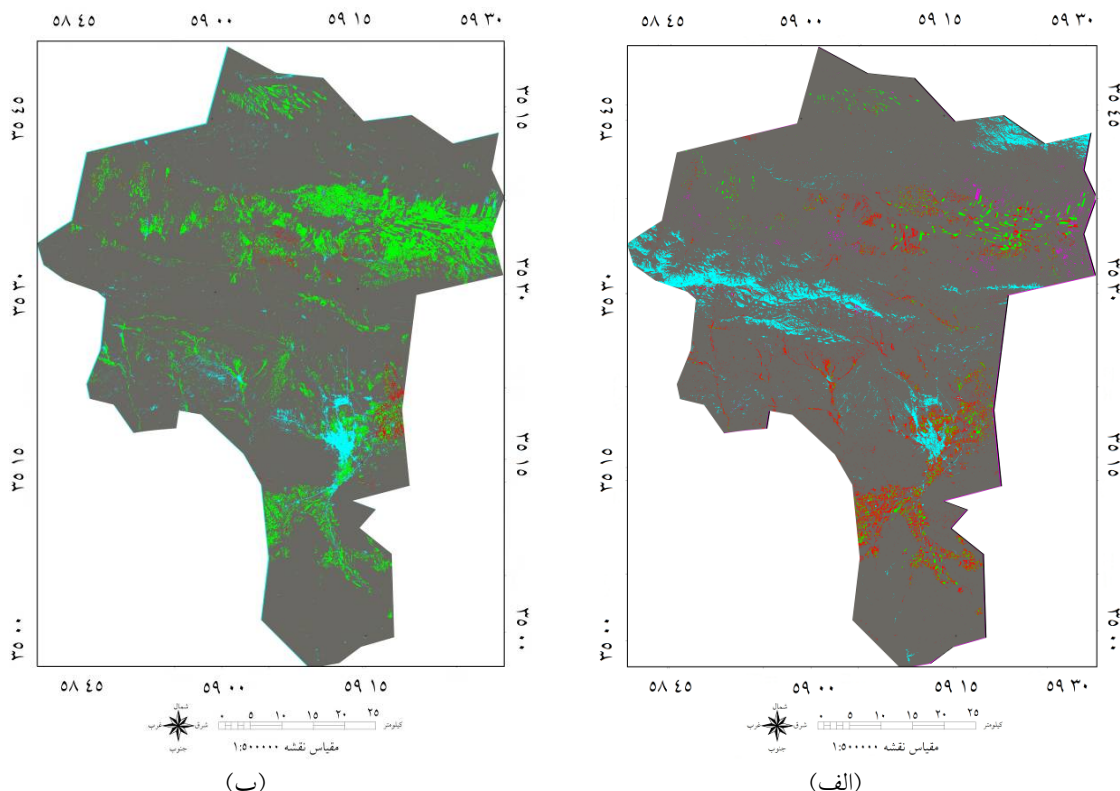
در این مرحله با توجه به در اختیار نداشتن طیفسنج میدانی، نمودار طیفی گیاه زعفران با استفاده از نمونه‌های آموزشی از روی تصاویر مربوطه (یک سال زراعی) که حدود ۲۱ عدد بود با استفاده از نرم‌افزار ENVI استخراج گردید. با توجه به اینکه در ماه فروردین دیگر محصولات منطقه و همچنین گیاهان خودرو در دوران رشد خود هستند به این دلیل از این تصویر برای پیاده‌سازی شاخص NDVI استفاده نشد. اما در سه تصویر ماههای دی، بهمن و اسفند از لحظه دوران رشد با سایر گیاهان منطقه متمایز می‌باشند. بنابراین می‌توان با اعمال شاخص‌های گیاهی نظیر NDVI بر روی تصاویر مربوط به تاریخ‌های اوچ سبزینگی زعفران، اقدام به

جدول ۴. صحت الگوریتم‌های طبقه‌بندی (%)

روش طبقه‌بندی	ماشین بردار پشتیبان	شبکه عصبی	حداقل فاصله	فاصله ماهالانویس	حداکثر احتمال	متوازی السطوح	صحت کاربر	صحت تولیدکننده	ضریب کاپا	صحت کلی	خطای نسبی
ماشین بردار پشتیبان	۹۸/۰۸	۹۹/۲۰	۹۹/۱۰	۹۷	۹۴	۶۹	۴۴/۲۶	۱۰۰	۵۴	۶۹	%۱۶
شبکه عصبی	۹۸/۰۸	۹۹/۲۰	۹۹/۱۰	۹۷	۹۳	۶۱	۹۸	۹۶	۵۲	۹۷	%۹۸
حداقل فاصله	۹۸/۰۸	۹۹/۲۰	۹۹/۱۰	۹۷	۹۳	۲۱	۹۷	۹۶/۱۵	۱۳	۹۷	%۲۲
فاصله ماهالانویس	۹۸/۰۸	۹۹/۲۰	۹۹/۱۰	۹۷	۹۳	۲۱	۹۸	۹۶	۵۲	۶۱	%۳۷
حداکثر احتمال	۹۸/۰۸	۹۹/۲۰	۹۹/۱۰	۹۷	۹۳	۶۱	۸۹	۱۰۰	۹۴	۹۷	%۳۶
متوازی السطوح	۹۸/۰۸	۹۹/۲۰	۹۹/۱۰	۹۷	۹۳	۶۹	۴۴/۲۶	۱۰۰	۵۴	۶۹	%۱۸

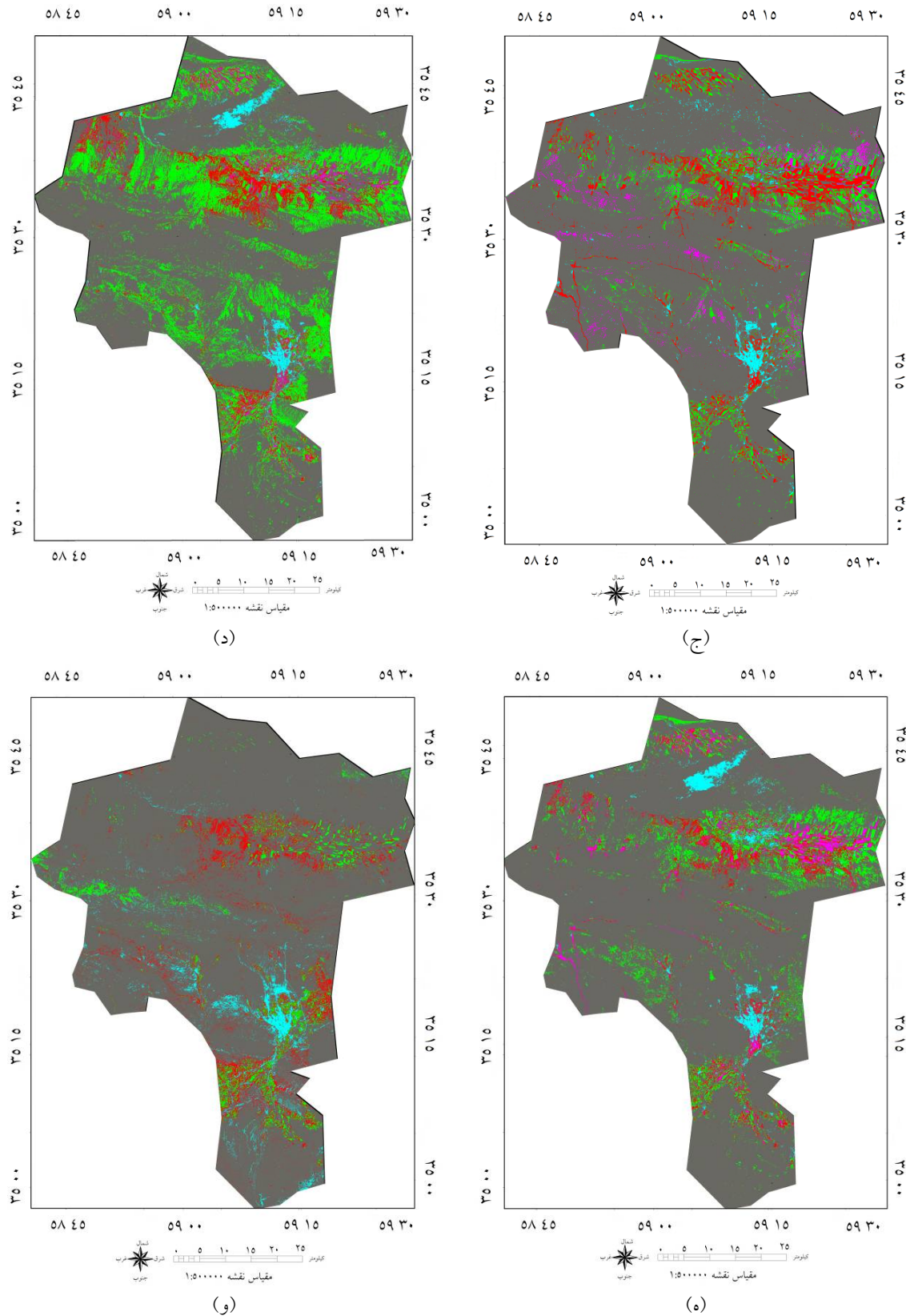
جدول ۵. نتایج پیاده‌سازی الگوریتم‌های طبقه‌بندی

روش طبقه‌بندی	ماشین بردار پشتیمان	شبکه عصبی	حداقل فاصله	فاصله ماهالانویس	حداکثر احتمال	متوازی السطوح	مساحت محاسبه شده از تصویر (هکتار)	خطای نسبی
متوازی السطوح	۶۱۲۰	۴۷۸۰	۴۷۲۰	۵۸۵۰	۱۵۰۲۰	۳۹۰۴۲	۳۹۰۴۲	%۱۶
حداکثر احتمال	۶۱۲۰	۴۷۸۰	۴۷۲۰	۵۸۵۰	۱۵۰۲۰	۳۹۰۴۲	۳۹۰۴۲	%۹۸
فاصله ماهالانویس	۶۱۲۰	۴۷۸۰	۴۷۲۰	۵۸۵۰	۱۵۰۲۰	۳۹۰۴۲	۳۹۰۴۲	%۲۲
حداقل فاصله	۶۱۲۰	۴۷۸۰	۴۷۲۰	۵۸۵۰	۱۵۰۲۰	۳۹۰۴۲	۳۹۰۴۲	%۳۷
شبکه عصبی	۶۱۲۰	۴۷۸۰	۴۷۲۰	۵۸۵۰	۱۵۰۲۰	۳۹۰۴۲	۳۹۰۴۲	%۳۶
ماشین بردار پشتیمان	۶۱۲۰	۴۷۸۰	۴۷۲۰	۵۸۵۰	۱۵۰۲۰	۳۹۰۴۲	۳۹۰۴۲	%۱۸



شکل ۴. نتیجه حاصل از پیاده‌سازی الگوریتم‌های طبقه‌بندی

الف) ماشین بردار پشتیمان و ب) حداکثر احتمال

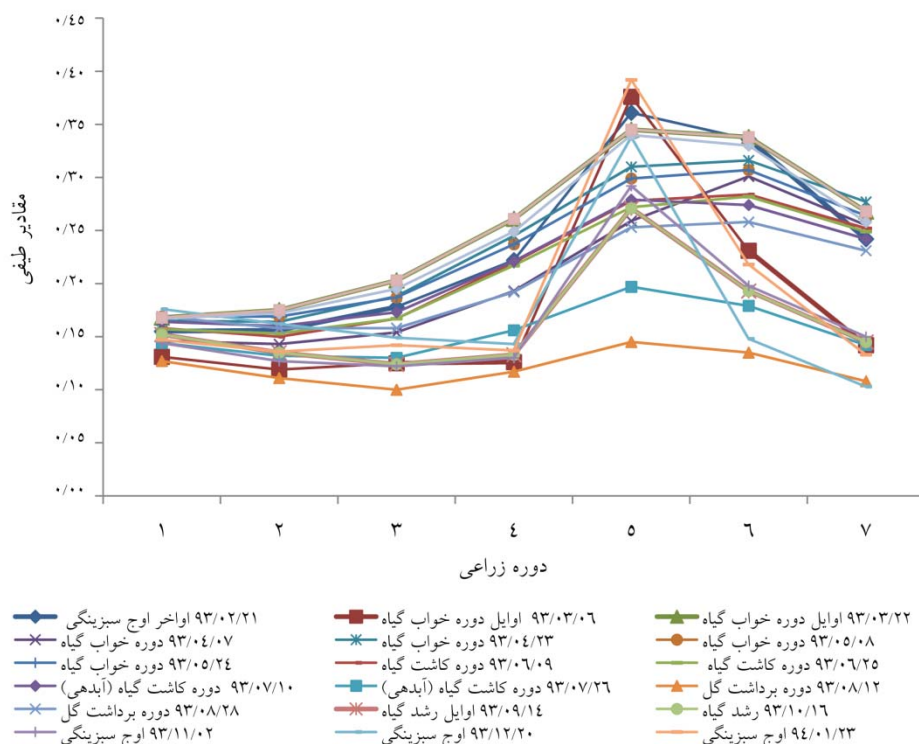


ادامه شکل ۴. نتیجه حاصل از پیاده‌سازی الگوریتم‌های طبقه‌بندی  
ج) فاصله ماهalanوبیس و د) متوازی السطوح و ه) حداقل فاصله، و) شبکه عصبی

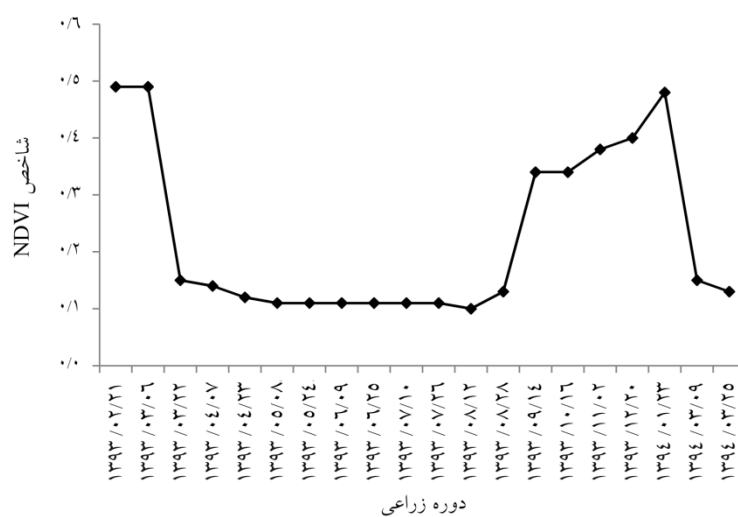
کشاورزان منطقه نیز تائید گردید. در شکل ۵ نمودار طیفی گیاه زعفران در یک سال زراعی و جدول ۶ مراحل رشد گیاهان منطقه و همچنین در شکل ۶ روند تغییرات شاخص NDVI آورده شده است.

#### تقویم زراعی گیاهان منطقه

با استفاده از شاخص‌های گیاهی NDVI زمان اوچ سبزینگی گیاه زعفران ماه‌های دی، بهمن و اسفند تشخیص داده شد که این مورد با استفاده از تقویم زراعی گیاهان منطقه مستخرج از کتب، مراجع و همچنین پرسش‌های شفاهی از



شکل ۵. منحنی رفتار طیفی گیاه زعفران در مدت یک سال زراعی



شکل ۶. روند تغییرات شاخص NDVI پوشش زعفران در یک سال زراعی

### جدول ۶. مراحل رشد گیاهان منطقه در سال زراعی

نوع محصول	مهر	آبان	آذر	دی	بهمن	اسفند	فروردین	اردیبهشت	خرداد	تیر	مرداد	شهریور	تابستان	بهار	زمستان			
کاشت																		
زعفران (آب دهی)	کاشت	برداشت گل																
گندم و جو	کاشت																	
باغ و قلمستان	برگ	درختان	شدن	ریزش														
باغ و قلمستان	برگ	درختان	شدن	ریزش														
باغ و قلمستان	سبز	برگ ها	برگ ها	برگ ها	برگ ها	خواب زمستانی درختان	زمین فاقد پوشش سبز	شروع رشد	یونجه و اولین	برداشت	برداشت یونجه و رشد دوباره	گندم و جو	زمین عاری از پوشش سبز	اوچ رشد	رشد گیاه و اوچ سبزینگی (گیاه به صورت سبز دیده می شود)	دوره خواب گیاه	کاشت	زعفران (آب دهی)

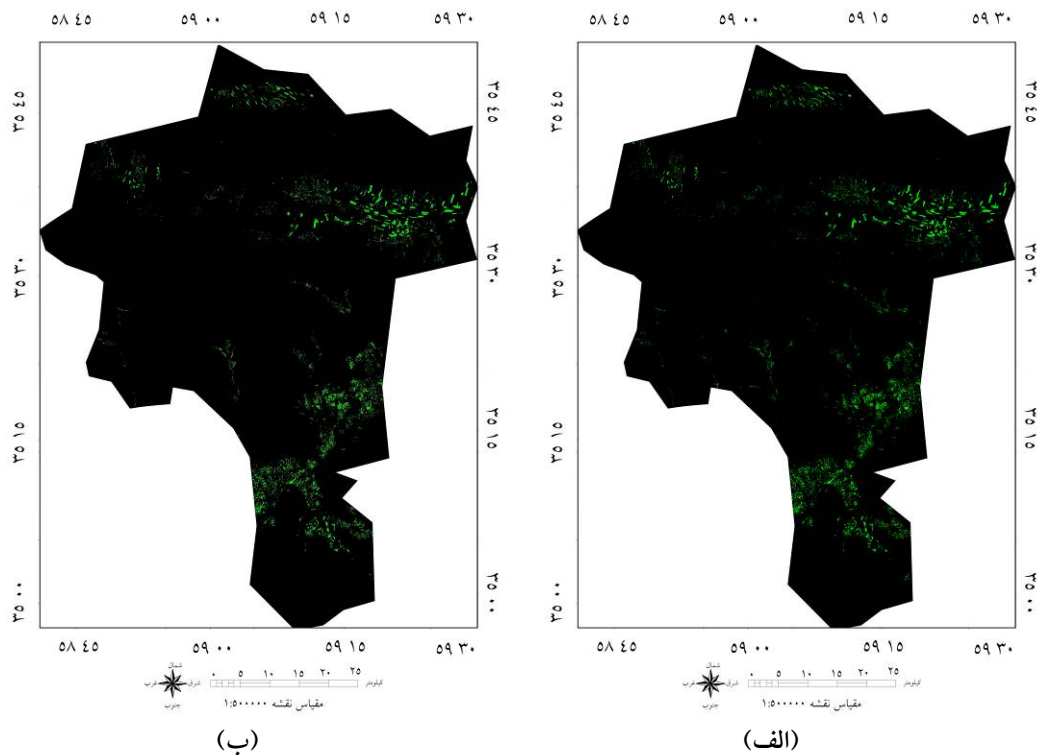
نظر گرفته شد. همچین با استفاده از اعمال شاخص های گیاهی مذکور بر روی تصویر اوچ سبزینگی، کلیه مناطق جمع آوری شده به عنوان مناطق شاهد، مقدار بالایی را نشان دادند و به نوعی صحت روش مورد استفاده را مورد تائید قرار دادند. همان طور که در شکل دیده می شود اختلاف دو شاخص NDVI و SAVI بسیار کم است.

### پیاده سازی شاخص های گیاهی

پس از به دست آوردن زمان اوچ سبزینگی گیاه زعفران پیاده سازی شاخص های گیاهی بر روی تصاویر انجام شد. سپس با استفاده حد آستانه مناسب، محصول زعفران نسبت به سایر محصولات کشاورزی منطقه جداسازی گردید (جدول ۷) و شکل ۷). مقدار حد آستانه با استفاده از آزمون و خط و با به کار گیری نمونه های آموزشی مربوط به گیاه زعفران،  $0/3$  در

### جدول ۷. مساحت محاسبه شده به هکتار برای سطح زیر کشت گیاه زعفران با استفاده از شاخص های گیاهی

شاخص مورد استفاده	مساحت محاسبه شده از تصویر	مساحت مربوط به آمار وزارت جهاد	مساحت مربوط به آمار وزارت جهاد
NDVI	۷۱۱۸ هکتار	۷۵۵۰ هکتار	۵/۷
SAVI	۷۰۵۴ هکتار	۷۵۵۰ هکتار	۷/۵



شکل ۷. نقشه مناطق تحت کشت محصول زعفران در نتیجه پیاده‌سازی شاخص‌های گیاهی؛(الف) NDVI و (ب) SAVI

کشاورزی (۶۱۲۰ هکتار مربوط به طبقه‌بندی کننده ماشین بردار پشتیبان و ۷۵۵۰ هکتار مربوط به آمار جهاد کشاورزی)، ۱۸ درصد بود. این مورد با مطالعات یانگ و همکاران (۳۷)، ژو و همکاران (۳۶)، چوبی و همکاران (۱۴) که اثبات نمودند بهترین طبقه‌بندی کننده تصاویر ماهواره‌ای، الگوریتم ماشین بردار پشتیبان است، همخوانی دارد. همچنین، نتایج رویکرد اول بهطورکلی تصدیق کننده مطالعات پیشین می‌باشد که در آن‌ها الگوریتم ماشین بردار پشتیبان دقیق‌تر از روش‌های شبکه عصبی مصنوعی، حداقل احتمال و دیگر الگوریتم‌های بکار برده شده است. در رویکرد دوم با توجه به داشتن تصاویر زمانمند، مطالعه منابع علمی و همچنین بازدیدهای میدانی و پرسش از کشاورزان، تقویم زراعی محصولات منطقه به دست آمد. با بررسی این تقویم، اوج سبزینگی گیاه زعفران در ماههای دی، بهمن و اسفند تشخیص داده شد که با سایر محصولات کشت شده در منطقه همزمانی نداشت. شاخص‌های گیاهی (NDVI و SAVI) بر روی تصاویر اوج سبزینگی پیاده‌سازی گردید و نقشه سطح زیر کشت گیاه زعفران به

## بحث و نتیجه‌گیری

هدف این تحقیق، شناسایی سطح مزارع زیر کشت محصول زعفران به عنوان یکی از محصولات دارای ارزش اقتصادی شهرستان تربت حیدریه با استفاده از تصاویر ماهواره‌ای زمانمند Landsat-8 بود. به همین منظور در قالب دو رویکرد برای تصاویر سری زمانی چندین روش موردنبررسی قرار گرفت. در ابتدا، تصاویر از نظر وجود خطاهای هندسی و رادیومتری بررسی و تصحیح گردید. نتایج بررسی تفکیک‌پذیری طبقات با معیار فاصله و اگرایی تبدیل شده نشان داد که میزان تفکیک‌پذیری طبقات، باعستان، شهر، زعفران، جو و خاک با یکدیگر خوب بوده است. در رویکرد اول روش‌های متداول طبقه‌بندی پیاده‌سازی شدند. نتایج تحقیق نشان دادند، از میان روش‌های طبقه‌بندی، بهترین دقت مربوط به روش ماشین‌های بردار پشتیبان با صحت کلی ۹۵ درصد، ضریب کاپا ۹۰/۰ بود. مقدار خطای نسبی این روش در برآورد سطح زیر کشت گیاه زعفران در مقایسه با آمارهای وزارت جهاد

- شبکه‌ی عصبی مصنوعی در تهیه‌ی نقشه‌ی پوشش کاربری اراضی با استفاده از تصاویر ماهواره‌ای ETM<sup>+</sup>. فصلنامه جغرافیات و توسعه، ۱۲(۳۷): ۱۳۳-۱۴۶.
- حیبی، م. و ع. باقری. ۱۳۷۶. زعفران: زراعت، فرآیند ترکیبات شیمیایی و استانداردهای آن. انتشارات سازمان پژوهش‌های علمی و صنعتی ایران مرکز خراسان. ۱۰۷۰ صفحه.
- رمضانخانی، م. و س. مختارزاده و م. ر. صاحبی. ۱۳۹۰. مقایسه تغییک‌پذیری محصولات کشاورزی در طبقه‌بندي چندزمانه با روش‌های آماری و شبکه‌های عصبی. مجموعه مقالات ژئوماتیک ۹۰. سازمان نقشه‌برداری کشور. اردیبهشت ماه.
- سرکارگاردکانی، ع. و ن. نبوی. ۱۳۹۱. شناسایی و برآورد سطح زیر کشت گیاه زعفران و طبقه‌بندي منطقه با استفاده از تصاویر ماهواره‌ای (مطالعه موردنی: کاشمر). دومین کنفرانس برنامه‌ریزی و مدیریت محیط زیست. تهران. ۲۶ الی ۲۷ اردیبهشت ماه.
- سفیانیان، ع. و م. مدنیان. ۱۳۹۰. مقایسه روش‌های طبقه‌بندي کننده حداکثر مشابهت و حداقل فاصله از میانگین در تهیه نقشه پوشش اراضی (مطالعه موردنی: استان اصفهان). علوم آب و خاک، ۱۵(۵۷): ۲۶۳-۲۶۴.
- شکوری، ع. ۱۳۹۲. سیاست‌های توسعه کشاورزی در ایران. انتشارات دانشگاه تهران. ۳۰۳ صفحه.
- علوی‌پناه، ک. ۱۳۸۹. اصول سنچش از دور و تفسیر تصاویر ماهواره‌ای و عکس‌های هوایی. چاپ ششم، انتشارات دانشگاه تهران. ۷۸۲ صفحه.
- کافی، م. ۱۳۸۱. فناوری و تولید و فرآوری زعفران. چاپ اول، موسسه چاپ و انتشارات دانشگاه فردوسی مشهد. ۱۰۰۱ صفحه.
- کبیری، ک. ۱۳۸۰. بررسی اثرات خشکسالی بر پوشش گیاهی ایران در دهه ۹۰ میلادی با استفاده از تصاویر ماهواره‌ای NOAA. پایان‌نامه کارشناسی ارشد، گروه مهندسی عمران، دانشگاه صنعتی خواجه نصیرالدین طوسی. ۱۳۳ صفحه.
- Ahmad Shah S. 2012. Use of Geographic Information System in Land Use Studies: A micro Level Analysis. European Journal of Applied Sciences, 4(3): 123-128.
- Bagan H, Yamagata Y. 2012. Landsat analysis of urban growth: How Tokyo became
- دست آمد. میزان اختلاف نسبتاً کم NDVI و SAVI (در این تحقیق به ترتیب ۷۱۱۸ هکتار و ۷۰۵۴ هکتار برای زعفران) در رویکرد دوم، با تحقیقی که در یک مزرعه گندم واقع در ایالت آریزونا در سه مرحله رشد مختلف انجام شد، مطابقت داشت. نتایج این مطالعه نشان داد که کارایی شاخص‌های گیاهی NDVI و SAVI اختلاف زیادی نداشته و استفاده از SAVI به جای NDVI مزیت چندانی در پی ندارد. مقایسه دو رویکرد پیشنهادی در این مقاله با آمارهای ارائه شده مربوط به سال زراعی مورد مطالعه (۹۳-۹۲) توسط وزارت جهاد کشاورزی نشان داد که رویکرد دوم تفاوت یا افزایش ۵/۷ درصدی (در بهترین حالت در مورد NDVI) در برآورد مساحت زمین‌های تحت کشت گیاه زعفران را ارائه نمود. میزان سطح زیر کشت زعفران با استفاده از تصاویر ماهواره‌ای در رویکرد دوم و استفاده از شاخص NDVI و حد آستانه ۰/۳ ۷۱۱۸ هکتار برآورد شد. نتایج نشان داد که داده‌های سنجنده‌های چند باندی که در طول دوره رشد محصولات کشاورزی اخذ شده‌اند، با وجود خطای موجود، نتایج به نسبت قابل قبولی نسبت به حالت استفاده از تک تصویر در این قبیل بررسی‌ها دارد. با این وجود به نظر می‌رسد مناسب‌ترین روش شناسایی سطح زیر کشت گیاه زعفران، استفاده از شاخص‌های گیاهی در تصاویر مربوط به اوج سبزینگی زعفران بوده است.
- با توجه به عامل زمان و هزینه برآورد سطح زیر کشت این روش در مقایسه با روش نقشه‌برداری زمینی و نیز خطای ناشی از روش جمع‌آوری زمینی آمارهای کشاورزی که با دخالت انسانی بیشتری همراه است، ارزش استفاده از داده‌های ماهواره‌ای بیش از پیش معلوم خواهد شد. بنابراین، سرعت و دقیق در این قبیل ارزیابی‌ها از اهمیت بالایی برخوردار می‌باشد. همچنین نتایج این گونه مطالعات می‌تواند در برآورد تعیین پراکنش توزیع و وسعت کاربری‌ها و دیگر مطالعات محیط زیستی، مورد استفاده قرار گیرد.
- ### منابع مورد استفاده
- آرخی، ص. و ح. فتحی‌زاد. ۱۳۹۲. ارزیابی کارایی چهار روش

- sciences, 1946. vol 1007. The Royal Society, pp 453-461.
23. Joshi PK, Roy P, Singh S, Agrawal S, Yadav D. 2006. Vegetation cover mapping in India using multi-temporal IRS Wide Field Sensor (WiFS) data. *Remote Sensing of Environment*, 103(2): 190-202.
  24. Kamusoko C, Aniya M. 2007. Land use/cover change and landscape fragmentation analysis in the Bindura District, Zimbabwe. *Land Degradation & Development*, 18(2): 221-233.
  25. Kavzoglu T, Colkesen I. 2009. A kernel functions analysis for support vector machines for land cover classification. *International Journal of Applied Earth Observation and Geoinformation*, 11(5): 352-359.
  26. Keuchel J, Naumann S, Heiler M, Siegmund A. 2003. Automatic land cover analysis for Tenerife by supervised classification using remotely sensed data. *Remote Sensing of Environment*, 86(4): 530-541.
  27. Knorn J, Rabe A, Radeloff VC, Kuemmerle T, Kozak J, Hostert P. 2009. Land cover mapping of large areas using chain classification of neighboring Landsat satellite images. *Remote Sensing of Environment*, 113(5): 957-964.
  28. Landgrebe DA. 2003. Signal theory methods in multispectral remote sensing, John Wiley & Sons Pub. Hoboken, New Jersey.
  29. Li C, Wang J, Wang L, Hu L, Gong P. 2014. Comparison of classification algorithms and training sample sizes in urban land classification with Landsat thematic mapper imagery. *Remote Sensing*, 6(2): 964-983.
  30. Marsden T, Murdoch J, Morgan K. 1999. Sustainable agriculture, food supply chains and regional development: editorial introduction. *International Planning Studies*, 4(3): 295-301.
  31. Mather PM, Tso B. 2009. Classification Methods for Remotely Sensed Data Second Edition, CRC Press. New York.
  32. Mobasher M, Rahimzadegan M. 2011. Introduction to protein absorption lines index for relative assessment of green leaves protein content using EO-1 Hyperion datasets. *Journal of Agricultural Science and Technology*, 14(1): 135-147.
  33. Petropoulos GP, Kontoes C, Keramitsoglou I. 2011. Burnt area delineation from a uni-temporal perspective based on Landsat TM imagery classification using support vector the world's largest megacity during the last 40years. *Remote sensing of Environment*, 127: 210-222.
  12. Campbell JB. 1987. Introduction to Remote Sensing. The Guilford Press 0073, NewYork.
  13. Caren CD, David JM, Volker CR. 2001. Phonological difference in Tasseled Cap indices improves deciduous forest classification. *Remote Sensing of Environment*, 80: 460-472.
  14. Chubey MS, Franklin SE, Wulder MA. 2006. Object-based analysis of Ikonos-2 imagery for extraction of forest inventory parameters. *Photogrammetric Engineering & Remote Sensing*, 72(4): 383-394.
  15. Department of the Interior U.S. Geological Survey LSDS.2015. Landsat-8 Data Users Handbook-1574, USGS-Earth Resources Observation and Science: Sioux Falls, South Dakota, USA.
  16. Dixon B, Candade N. 2008. Multispectral landuse classification using neural networks and support vector machines: one or the other, or both? *International Journal of Remote Sensing*, 29(4): 1185-1206.
  17. Duro DC, Franklin SE, Dubé MG. 2012. A comparison of pixel-based and object-based image analysis with selected machine learning algorithms for the classification of agricultural landscapes using SPOT-5 HRG imagery. *Remote Sensing of Environment*, 118: 259-272.
  18. Gopal S, Woodcock CE, Strahler AH. 1999. Fuzzy neural network classification of global land cover from a 1 AVHRR data set. *Remote Sensing of Environment*, 67(2): 230-243.
  19. Huang C, Davis L, Townshend J. 2002. An assessment of support vector machines for land cover classification. *International Journal of remote sensing*, 23(4): 725-749.
  20. Huete AR. 1988. A soil-adjusted vegetation index (SAVI). *Remote Sensing of Environment*, 25(3): 295-309.
  21. Hussain M, Chen D, Cheng A, Wei H, Stanley D. 2013. Change detection from remotely sensed images: From pixel-based to object-based approaches. *ISPRS Journal of Photogrammetry and Remote Sensing*, 80: 91-106.
  22. Jeffreys H. 1946. An invariant form for the prior probability in estimation problems. In: Proceedings of the Royal Society of London a: mathematical, physical and engineering

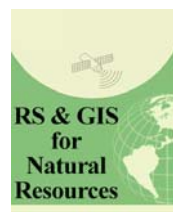
- Callum I. 2003. Application of decision tree technology for image classification using remote sensing data. *Agricultural Systems*, 76(3): 1101-1117.
38. Yuan F, Bauer ME, Heinert NJ, Holden GR. 2005. Multi-level land cover mapping of the Twin Cities (Minnesota) metropolitan area with multi-seasonal Landsat TM/ETM<sup>+</sup> data. *Geocarto International*, 20(2): 5-13.
39. Zhong L, Gong P, Biging GS. 2014. Efficient corn and soybean mapping with temporal extendability: A multi-year experiment using Landsat imagery. *Remote Sensing of Environment*, 140(1): 1-13.
40. Zhu Z, Woodcock CE. 2014. Continuous change detection and classification of land cover using all available Landsat data. *Remote sensing of Environment*, 144: 152-171.
- machines. *International Journal of Applied Earth Observation and Geoinformation*, 13(1): 70-80.
34. Riedmiller M. 1994. Advanced supervised learning in multi-layer perceptrons—from backpropagation to adaptive learning algorithms. *Computer Standards & Interfaces*, 16(3): 265-278.
35. Sönmez N, Sarı M. 2007. Monitoring land use change in the West Mediterranean region of Turkey: a case study on Antalya-Turkey coast. *Fresenius Environmental Bulletin*, 16(11a): 1325-1330.
36. Xu M, Watanachaturaporn P, Varshney PK, Arora MK. 2005. Decision tree regression for soft classification of remote sensing data. *Remote Sensing of Environment*, 97(3): 322-336.
37. Yang C-C, Prasher SO, Enright P, Madramootoo C, Burgess M, Goel PK,



## RS & GIS for Natural Resources (Vol. 7/ Issue 4) winter 2017

Indexed by ISC, SID, Magiran and Noormags

<http://girs.iaubushehr.ac.ir>



# Identification of the area under cultivation of Saffron using Landsat-8 temporal satellite images (Case study: Torbat Heydarieh)

M. Rahimzadegan<sup>1\*</sup>, M. Pourgholam<sup>2</sup>

1. Assis. Prof. College of Civil Engineering, K.N.Toosi University of Technology

2. MSc. Student of Remote Sensing and Geographic Information System, Larestan Branch, Islamic Azad University, Larestan, Iran

---

### ARTICLE INFO

#### Article history:

Received 27 August 2016

Accepted 17 January 2017

Available online 11 February 2017

---

#### Keywords:

Saffron area under cultivation

Vegetation indices

Classification methods

Green peak

Torbat Heydarieh

---

### ABSTRACT

The aim of this research is the identification of Saffron fields with Landsat-8 Satellite images in Torbat Heydarieh. In this regard, two approaches were utilized. The first approach was dealing with implementation of neural network, support vector machine, Mahalanobis distance, the minimum distance, maximum likelihood and parallelepiped classification methods to achieve land cover map. The second approach was to use normalized difference vegetation index (NDVI) and soil adjusted vegetation index (SAVI) in the greenness peak time range of saffron. To prepare field data, coordinate and land cover class of 2587 points (1463 as training sample and others as tested) in a region with at least 30 m same land cover on January 25th, 2015 and May 9th, 2015 were recorded using a GPS receiver. Furthermore, statistics presented by ministry of Agriculture Jihad in the 2014-2015 crop year was used for evaluation. Two measures, including Kappa coefficient and overall accuracy were used for evaluation of the results. Support vector machine classification with overall accuracy of 95% and a Kappa coefficient of 90%, was the best method of the first approach. It shows a difference of about 18% in saffron area comparing with Jihad statistics. On the other hand, NDVI as the best method of second approach shows an area of 7118 hectares which comparing with Jihad statistics (7550 hectares), shows the error of 5.7%. Hence, the results indicate the performance of temporal vegetation indices in identification of saffron fields according to its phenology.

---

\* Corresponding author e-mail address: [rahimzadegan@kntu.ac.ir](mailto:rahimzadegan@kntu.ac.ir)